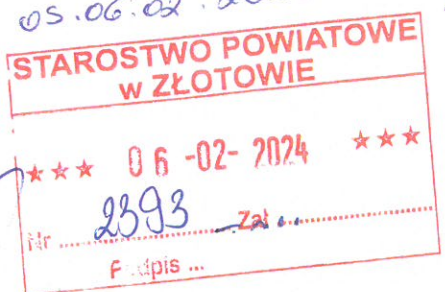


T-Mobile Polska S.A.
ul. Marynarska 12
02-674 Warszawa

OS. 6223. 3. 2024
OS. 6221. 2. 16. 2024
Poznań, dn. 2024-01-31
nr rej. 16/2024



Starosta Złotowski
Starostwo Powiatowe w Złotowie
Al. Piasta 32
77-400 Złotów

Dotyczy: ustawowego obowiązku, wynikającego z art. 152 ust. 1 i ust. 7 w związku z ust. 6 pkt 1c ustawy z dnia 27 kwietnia 2001r – Prawo ochrony środowiska (Dz.U. 2024 poz. 54).

Działając z upoważnienia T-Mobile Polska S.A. z siedzibą ul. Marynarska 12, 02-674 Warszawa, informuję o zmianie danych w zakresie wielkości i rodzaju emisji dla instalacji radiokomunikacyjnej 44061 (64061N!) PPI_ZLOTOW_ZACHOD zlokalizowanej w miejscowości ZŁOTÓW, ul. WIOŚLARSKA DZ.280. W stosunku do informacji zawartej w zgłoszeniu realizowanym dla tej instalacji w trybie art. 152 ust. 1 i 5 ustawy z dnia 27 kwietnia 2001r – Prawo ochrony środowiska (Dz.U. 2024 poz. 54), dane ulegają zmianie w następujący sposób:

9. Wielkość i rodzaj emisji²⁾:

Pole elektromagnetyczne. EIRP poszczególnych anten zostało podane w pkt 12, tj.

Lp.	Równoważna moc promieniowana izotropowo (EIRP) [W]
1.	33035
2.	45293
3.	33035
4.	44262
5.	32639
6.	44262
7.	4
8.	5637/6310
9.	15
10.	15
11.	1779
12.	15
13.	6472

12. Szczegółowe dane, odpowiednio do rodzaju instalacji, zgodne z wymaganiami określonymi w załączniku nr 2 do Rozporządzenia:

Lp.	1)	2)	3)	4)	5)	
	Współrzędne geograficzne	Częstotliwość lub zakresy częstotliwości pracy instalacji [MHz]	Wysokość środka elektrycznego anteny [m n.p.t.]	Równoważna moc promieniowana izotropowo (EIRP) [W]	Azymut [°]	Kąt pochylenia lub zakresy kątów pochylenia [°]
1.	17°1'10.5" 53°21'55.1"	800/900/1800/2100/2600	61	33035	0	-4-8/-4-8/-4-8/-4-8/-4-8
2.	17°1'10.4" 53°21'55.1"	3600	61	45293	0	2-14
3.	17°1'10.6" 53°21'54.9"	800/900/1800/2100/2600	61	33035	105	-1-11/-2-10/3.5/3.5/-3-9
4.	17°1'10.6" 53°21'54.9"	3600	61	44262	105	2-14
5.	17°1'10.4" 53°21'55"	800/900/1800/2100/2600	61	32639	270	-1-11/-4-8/3.5/3.5/-3-9
6.	17°1'10.4" 53°21'55"	3600	61	44262	270	2-14
7.	17°1'10.6" 53°21'55"	38000	60	4	4*	nd.
8.	17°1'10.6" 53°21'55"	23000/80000	58	5637/6310	55*	nd.
9.	17°1'10.6" 53°21'55"	38000	60	15	98*	nd.
10.	17°1'10.5" 53°21'54.9"	38000	60	15	102*	nd.
11.	17°1'10.5" 53°21'54.9"	80000	59	1779	115*	nd.
12.	17°1'10.5" 53°21'54.9"	38000	60	15	115*	nd.
13.	17°1'10.5" 53°21'55"	23000	58	6472	297*	nd.

*) tolerancja azymutu od -10° do + 10°.

Informuję, iż dokonane zmiany w zakresie wielkości i rodzaju emisji przedmiotowej instalacji nie powodują zmiany instalacji w sposób istotny zgodnie z art. 3 pkt 7 ustawy Poś.

W załączniku przesyłam:

1. Pełnomocnictwo
2. Kopia potwierdzenia wniesienia opłaty skarbowej.

Otrzymują:

1. a/a
2. adresat



NetWorks Sp. z o.o.
Laboratorium Badań Środowiskowych
ul. Józefa Piusa Dziekońskiego 3
00-728 Warszawa
e-mail: Laboratorium@networks.pl



AB 419

S P R A W O Z D A N I E 6764/2023/OS
Z POMIARÓW PÓL ELEKTROMAGNETYCZNYCH
WYKONANYCH DLA POTRZEB OCHRONY ŚRODOWISKA

Badany obiekt: Instalacja radiokomunikacyjna T-Mobile Polska S.A.
Numer i nazwa: 44061 (64061N!) PPI_ZLOTOW_ZACHOD
Adres: ZŁOTÓW, WIOŚLARSKA DZ.280, Powiat złotowski, WOJ. WIELKOPOLSKIE

Data wykonania pomiarów: 2024-02-06

Sprawozdanie z badań bez pisemnej zgody laboratorium nie może być powielane inaczej niż w całości.
Wynik przedstawione w niniejszym sprawozdaniu odnoszą się wyłącznie do badanego obiektu i do warunków i konfiguracji urządzeń w dniu wykonywania pomiarów.

1. Właściciel badanego obiektu:

T-Mobile Polska S.A., ul. Marynarska 12, 02-674 Warszawa

2. Zleceniodawca:

T-Mobile Polska S.A., ul. Marynarska 12, 02-674 Warszawa

3. Przedstawiciel zleceniodawcy:

NetWorks Sp. z o.o.

4. Zakres zlecenia:

Wykonanie badania i opracowanie sprawozdania z pomiarów natężenia pola elektrycznego i pola magnetycznego dla instalacji radiokomunikacyjnej T-Mobile Polska S.A. zlokalizowanej w miejscowości ZŁOTÓW, WIOŚLARSKA DZ.280.

5. Cel zlecenia:

Wykonanie pomiarów pól elektromagnetycznych w otoczeniu instalacji radiokomunikacyjnej 44061 (64061N!) PPI_ZLOTOW_ZACHOD w odniesieniu do wymagań określonych w *Rozporządzeniu Ministra Klimatu z dnia 17 lutego 2020 r. w sprawie sposobów sprawdzania dotrzymania dopuszczalnych poziomów pól elektromagnetycznych w środowisku (Dz.U. 2022 poz. 2630)*.

6. Pomiary zostały wykonane przez:

Ciesielski Daniel

7. Informacje o źródłach pól elektromagnetycznych

7.1. Sposób identyfikacji badanych źródeł pól elektromagnetycznych

Identyfikacji źródeł i parametrów technicznych dokonano na podstawie analizy dokumentacji dotyczącej zlecenia oraz obserwacji miejsca wykonywania badań.

7.2. Opis miejsca zainstalowania anten i urządzeń technicznych. Opis obiektu badań i jego otoczenia

Instalacja radiokomunikacyjna zlokalizowana jest na terenie ogrodzonym. Anteny zawieszono na wieży strunobetonowej. Urządzenia sterujące oraz zasilające zainstalowano w kontenerze u podstawy wieży. Wokół instalacji znajduje się wieś.

Instalacja radiokomunikacyjna jest obiektem bezobsługowym. Okresowe stanowiska pracy związane są z prowadzonymi w zależności od potrzeb konserwacjami, przeglądami, strojeniem i naprawami.

Sprawozdanie z badań bez pisemnej zgody laboratorium nie może być powielane inaczej niż w całości.
Wynik przedstawione w niniejszym sprawozdaniu odnoszą się wyłącznie do badanego obiektu i do warunków i konfiguracji urządzeń w dniu wykonywania pomiarów.

7.3. Parametry techniczne źródła pola elektromagnetycznego

Dane przedstawiające maksymalne parametry pracy instalacji przekazane przez zleceniodawcę:

Parametry systemu nadawczo-odbiorczego:

Charakterystyka promieniowania		kierunkowa					
Rzeczywisty czas pracy [h/dobę]		24					
Warunki pracy		znamionowe					
Rodzaj wytwarzanego pola		stacjonarne					
Lp.	Częstotliwość lub zakresy częstotliwości pracy [MHz]	Typ/producent anteny	liczba anten	Azymut [°]	kąt pochylenia [°]	Wysokość środka elektrycznego anteny [m n.p.t.]	Równoważna moc promieniowana izotropowo (EIRP) [W]
1	800/900/1800/2100/2600	ASI4518R39v07 Huawei	1	0	-4-8**/-4-8**/-4-8**/-4-8**	61	33035
2	3600	AQQQ NSN	1	0	2-14**	61	45293
3	800/900/1800/2100/2600	ASI4518R39v07 Huawei	1	105	-1-11**/-2-10**/3.5*/3.5*/-3-9**	61	33035
4	3600	AQQQ NSN	1	105	2-14**	61	44262
5	800/900/1800/2100/2600	ASI4518R39v07 Huawei	1	270	-1-11**/-4-8**/3.5*/3.5*/-3-9**	61	32639
6	3600	AQQQ NSN	1	270	2-14**	61	44262

* wskazane wartości kąta pochylenia anten, zgodnie z informacją uzyskaną od zleceniodawcy, są wartościami stałymi

** pomiary wykonano zgodnie z pkt 13., ppkt 2 załącznika do Rozporządzenia Ministra Klimatu z dnia 17 lutego 2020 r. (Dz. U. 2022, poz. 2630).

Parametry radiolinii:

Charakterystyka promieniowania		kierunkowa					
Rzeczywisty czas pracy [h/dobę]		24					
Warunki pracy		znamionowe					
Rodzaj wytwarzanego pola		stacjonarne					
Lp.	Linia radiowa			Antena			
	Typ/ Producent	Częstotliwość pracy [GHz]	Równoważna moc promieniowana izotropowo (EIRP) [W]	Typ/ producent	Średnica anteny [m]	Azymut [°]	Wysokość zainstalowania n.p.t [m]
1.	NEC iPasolink 100E Harris Stratex	38	4	VHLP1-38 Andrew	0.3	4	60
2.	RTN XMC-5D 23G 28MHz XPIC<w:br/>RTN 380AX DC 70/80GHz 500MHz Huawei	23/80	5637/6310	A23D80S06 Huawei	0.6	55	58
3.	NEC iPasolink 100E Harris Stratex	38	15	VHLP1-38 Andrew	0.3	98	60
4.	NEC iPasolink 100E Harris Stratex	38	15	VHLP1-38 Andrew	0.3	102	60
5.	RTN 380AX DC 70/80GHz 250MHz Huawei	80	1779	A80D03 Huawei	0.3	115	59

Sprawozdanie z badań bez pisemnej zgody laboratorium nie może być powielane inaczej niż w całości. Wynik przedstawione w niniejszym sprawozdaniu odnoszą się wyłącznie do badanego obiektu i do warunków i konfiguracji urządzeń w dniu wykonywania pomiarów.

Charakterystyka promieniowania				kierunkowa			
Rzeczywisty czas pracy [h/dobę]				24			
Warunki pracy				znamionowe			
Rodzaj wytwarzanego pola				stacjonarne			
Lp.	Linia radiowa			Antena			
	Typ/ Producent	Częstotliwość pracy [GHz]	Równoważna moc promieniowana izotropowo (EIRP) [W]	Typ/ producent	Średnica anteny [m]	Azymut [°]	Wysokość zainstalowania n.p.t [m]
6.	NEC iPasolink 100E Harris Stratex	38	15	VHLP1-38 Andrew	0.3	115	60
7.	RTN XMC-5D 23G 28MHz XPIC Huawei	23	6472	A23D06 Huawei	0.6	297	58

7.4 Inne źródła pól elektromagnetycznych

Na podstawie informacji otrzymanych od użytkownika oraz obserwacji otoczenia miejsca wykonywania pomiarów stwierdzono występowanie innych źródeł pola-EM, pracujących w systemie: telefonii komórkowej (800MHz-2600MHz), linii radiowych (5GHz – 90GHz), które istotnie wpływają na wyniki pomiarów.

8. Opis pomiarów

8.1. Metoda badań

Zgodna z rozporządzeniem Ministra Klimatu z dnia 17 lutego 2020 r. w sprawie sposobów sprawdzania dotrzymania dopuszczalnych poziomów pól elektromagnetycznych w środowisku (Dz.U. 2022 poz. 2630), określona w pkt 25 ppkt 1 załącznika do niniejszego rozporządzenia.

8.2. Termin pomiarów i warunki środowiskowe

Podczas wykonywania pomiarów pól elektromagnetycznych nie występowały opady atmosferyczne. Wyniki pomiaru parametrów pogodowych przedstawia poniższa tabela:

Data [rrrr-mm-dd]	Godzina [hh:mm-hh:mm]	Warunki środowiskowe			
		Temperatura [°C]		Wilgotność względna [%]	
2024-02-06	11:30-13:00	Przed pomiarem	Po pomiarach	Przed pomiarem	Po pomiarach
		6.5	6.7	82.3	82.3

Przedstawione wyżej warunki środowiskowe, występujące podczas wykonywania pomiarów pól elektromagnetycznych, są zgodne ze specyfikacją techniczną użytego zestawu pomiarowego.

8.3. Warunki pracy urządzeń nadawczych

Podczas pomiarów w przypadku uzyskania wyniku pomiaru szerokopasmowego wykonanego zastosowaną metodą, dla zakresów częstotliwości od 10 MHz do 300 GHz, powiększonego o rozszerzoną niepewność pomiaru U dla współczynnika rozszerzenia $k = 2$ przekraczającego 70% najniższej dopuszczalnej wartości składowej elektrycznej lub magnetycznej pola dla objętych pomiarami zakresów częstotliwości, uwzględnia się poprawki pomiarowe przekazane przez zleceniodawcę, umożliwiające uwzględnienie maksymalnych parametrów pracy instalacji zgodnie z pkt 7 załącznika do Rozporządzeniem Ministra Klimatu z dnia 17 lutego 2020 r. w sprawie sposobów sprawdzania dotrzymania dopuszczalnych poziomów pól elektromagnetycznych w środowisku (Dz. U. 2022, poz. 2630) zaznaczając, że wymagane jest wykonanie pomiaru z wykorzystaniem miernika selektywnego. W przypadku uzyskania wyniku pomiaru szerokopasmowego wykonanego zastosowaną metodą, dla zakresów częstotliwości od 10 MHz do 300 GHz, powiększonego o rozszerzoną niepewność pomiaru U dla współczynnika rozszerzenia $k = 2$ nieprzekraczającego 70% najniższej dopuszczalnej wartości składowej elektrycznej lub magnetycznej pola dla objętych pomiarami zakresów częstotliwości, nie uwzględnia się poprawek pomiarowych.

Sprawozdanie z badań bez pisemnej zgody laboratorium nie może być powielane inaczej niż w całości.
 Wynik przedstawione w niniejszym sprawozdaniu odnoszą się wyłącznie do badanego obiektu i do warunków i konfiguracji urządzeń w dniu wykonywania pomiarów.

8.4. Wyposażenie pomiarowe

Zestaw pomiarowy służący do pomiaru natężenia składowej elektrycznej pola elektromagnetycznego złożony z szerokopasmowego miernika i sondy pomiarowej:

Oznaczenie miernika	Producent	Model	Numer fabryczny	Oznaczenie sondy	Producent	Model	Numer fabryczny
MW-04	Wavecontrol	Miernik pól elektromagnetycznych SMP2	22SN1953	SW-07	Wavecontrol	Sonda WPF60	22WP230193

Mierniki natężenia pola elektromagnetycznego podlegają okresowemu sprawdzeniu zgodnie z procedurą wewnętrzną P-03 i PB-01. Świadectwo wzorcowania zestawu pomiarowego z dnia 10 maja 2023 o numerze LWiMP/W/172/23 wydane przez Politechnika Wrocławską.
 Data ważności świadectwa wzorcowania: 10 maja 2025 (zgodnie z procedurą wewnętrzną P-03).

Oznaczenie miernika	Producent	Model	Numer fabryczny	Oznaczenie sondy	Producent	Model	Numer fabryczny
MW-04	Wavecontrol	Miernik pól elektromagnetycznych SMP2	22SN1953	SW-08	Wavecontrol	Sonda WPF3-HP	22WP030430

Mierniki natężenia pola elektromagnetycznego podlegają okresowemu sprawdzeniu zgodnie z procedurą wewnętrzną P-03 i PB-01. Świadectwo wzorcowania zestawu pomiarowego z dnia 10 czerwca 2022 o numerze LWiMP/W/155/22 wydane przez Politechnika Wrocławską.
 Data ważności świadectwa wzorcowania: 10 czerwca 2024 (zgodnie z procedurą wewnętrzną P-03).

Termohigrometr:

Oznaczenie:	TH-13	Producent:	AZ INSTRUMENT CORP	Model:	Termohigrometr AZ8706
-------------	-------	------------	--------------------	--------	-----------------------

Data ważności świadectwa wzorcowania: 3 stycznia 2025 (zgodnie z procedurą wewnętrzną P-03).

Dalmierz:

Oznaczenie	Producent	Typ	Numer seryjny	Nr świadectwa wzorcowania	Data świadectwa wzorcowania
D-10	Leica	Dalmierz Leica Disto D510	1042956690	4609.13-M11-4180-1748/14	9 stycznia 2015

Data ważności świadectwa wzorcowania: 9 stycznia 2025 (zgodnie z procedurą wewnętrzną P-03).

Odbiornik GNSS:

Odbiornik GNSS wbudowany w miernik natężenia pola elektromagnetycznego użyty podczas pomiarów	Producent	Model
	UBlox	MAX-M8Q

Odbiorniki podlegają okresowemu sprawdzeniu zgodnie z procedurą wewnętrzną P-03.

9. Wyniki pomiarów

Pole elektryczne

Nr pionu	Opis umiejscowienia pionu (punktu pomiarowego)	Wysokość pomiaru [m]	Zmierzona wartość natężenia pola elektrycznego E [V/m] ^{1,5}			Wartość natężenia pola elektrycznego powiększona o niepewność pomiaru ⁴ E [V/m]	Wskaźnikowa wartość poziomu emisji pól elektromagnetycznych WMe ³	Współrzędne geograficzne pionu (punktu pomiarowego) ²
			Sonda SW-07	Sonda SW-08	SUMA			
1	DPP pomiar na piętrze otwarte okno pok.25, Ośrodka Zabajka 2	2.0	1.8	1.8	1.8	2.3	0.08	53°21'58.3" 17°1'14.2"
2	DPP okno Stajni Ośrodka Zabajka 2	2.0	1.9	1.9	1.9	2.4	0.09	53°21'57.6" 17°1'13.8"
3	GKP w odległości 8m od anteny sektorowej az. 0°	2.0	2.5	2.5	2.5	3.2	0.12	53°21'55.4" 17°1'10.6"

Sprawozdanie z badań bez pisemnej zgody laboratorium nie może być powielane inaczej niż w całości.
 Wynik przedstawione w niniejszym sprawozdaniu odnoszą się wyłącznie do badanego obiektu i do warunków i konfiguracji urządzeń w dniu wykonywania pomiarów.

4	GKP w odległości 30m od anteny sektorowej az. 0°	2.0	2.4	2.4	2.4	3.1	0.11	53°21'56.2" 17°1'10.6"
5	GKP w odległości 22m od anteny radioliniowej az. 4°	2.0	2.1	2.1	2.1	2.7	0.1	53°21'55.8" 17°1'10.6"
6	GKP w odległości 6m od anteny radioliniowej az. 55°	2.0	2.2	2.2	2.2	2.8	0.1	53°21'55.1" 17°1'10.9"
7	GKP w odległości 55m od anteny radioliniowej az. 55°	2.0	2.6	2.6	2.6	3.3	0.12	53°21'56.2" 17°1'13.1"
8	GKP w odległości 10m od anteny radioliniowej az. 98°	2.0	2.0	2.0	2.0	2.6	0.09	53°21'55.1" 17°1'11.3"
9	GKP w odległości 107m od anteny sektorowej az. 105°	2.0	2.2	2.2	2.2	2.8	0.1	53°21'54.0" 17°1'16.3"
10	GKP w odległości 95m od anteny radioliniowej az. 102°	2.0	1.9	1.9	1.9	2.4	0.09	53°21'54.4" 17°1'15.6"
11	GKP w odległości 115m od anteny radioliniowej az. 115°	2.0	1.8	1.8	1.8	2.3	0.08	53°21'53.3" 17°1'16.3"
12	GKP w odległości 18m od anteny sektorowej az. 270°	2.0	2.5	2.5	2.5	3.2	0.12	53°21'55.1" 17°1'9.5"
13	GKP w odległości 52m od anteny sektorowej az. 270°	2.0	2.8	2.8	2.8	3.6	0.13	53°21'55.1" 17°1'7.7"
14	GKP w odległości 108m od anteny sektorowej az. 270°	2.0	2.4	2.4	2.4	3.1	0.11	53°21'55.1" 17°1'4.4"
15	GKP w odległości 10m od anteny radioliniowej az. 297°	2.0	2.4	2.4	2.4	3.1	0.11	53°21'55.1" 17°1'9.8"
16	GKP w odległości 51m od anteny radioliniowej az. 297°	2.0	2.5	2.5	2.5	3.2	0.12	53°21'55.8" 17°1'8.0"
17	PKP na az. 277° w odległości 55m od anteny sektorowej az. 270°	2.0	2.4	2.4	2.4	3.1	0.11	53°21'55.1" 17°1'7.3"
18	PKP na az. 290° w odległości 54m od anteny sektorowej az. 270°	2.0	2.5	2.5	2.5	3.2	0.12	53°21'55.8" 17°1'7.7"
19	PKP na az. 305° w odległości 51m od anteny sektorowej az. 270°	2.0	2.8	2.8	2.8	3.6	0.13	53°21'56.2" 17°1'8.0"
20	PKP na az. 325° w odległości 36m od anteny sektorowej az. 0°	2.0	2.4	2.4	2.4	3.1	0.11	53°21'56.2" 17°1'9.1"
21	PKP na az. 340° w odległości 33m od anteny sektorowej az. 0°	2.0	2.5	2.5	2.5	3.2	0.12	53°21'56.2" 17°1'9.8"
22	PKP na az. 353° w odległości 32m od anteny sektorowej az. 0°	2.0	2.7	2.7	2.7	3.5	0.12	53°21'56.2" 17°1'10.2"
23	PKP na az. 7° w odległości 35m od anteny sektorowej az. 0°	2.0	2.6	2.6	2.6	3.3	0.12	53°21'56.2" 17°1'10.6"
24	PKP na az. 20° w odległości 39m od anteny sektorowej az. 0°	2.0	2.5	2.5	2.5	3.2	0.12	53°21'56.2" 17°1'11.3"
25	PKP na az. 35° w odległości 55m od anteny sektorowej az. 0°	2.0	2.4	2.4	2.4	3.1	0.11	53°21'56.5" 17°1'12.0"
26	PKP na az. 70° w odległości 52m od	2.0	2.1	2.1	2.1	2.7	0.1	53°21'55.4" 17°1'13.1"

Sprawozdanie z badań bez pisemnej zgody laboratorium nie może być powielane inaczej niż w całości.
 Wynik przedstawione w niniejszym sprawozdaniu odnoszą się wyłącznie do badanego obiektu i do warunków i konfiguracji urządzeń w dniu wykonywania pomiarów.

	anteny sektorowej az. 105°							
27	PKP na az. 85° w odległości 52m od anteny sektorowej az. 105°	2.0	2.6	2.6	2.6	3.3	0.12	53°21'55.1" 17°1'13.4"
28	PKP na az. 98° w odległości 106m od anteny sektorowej az. 105°	2.0	2.4	2.4	2.4	3.1	0.11	53°21'54.4" 17°1'16.3"
29	PKP na az. 112° w odległości 109m od anteny sektorowej az. 105°	2.0	2.3	2.3	2.3	3	0.11	53°21'53.6" 17°1'16.0"
30	PKP na az. 125° w odległości 140m od anteny sektorowej az. 105°	2.0	2.5	2.5	2.5	3.2	0.12	53°21'52.2" 17°1'16.7"
31	PKP na az. 140° w odległości 165m od anteny sektorowej az. 105°	2.0	2.0	2.0	2.0	2.6	0.09	53°21'50.8" 17°1'16.3"
32	PKP na az. 235° w odległości 57m od anteny sektorowej az. 270°	2.0	2.5	2.5	2.5	3.2	0.12	53°21'54.0" 17°1'17.7"
33	PKP na az. 250° w odległości 55m od anteny sektorowej az. 270°	2.0	2.7	2.7	2.7	3.5	0.12	53°21'54.4" 17°1'17.7"
34	PKP na az. 263° w odległości 54m od anteny sektorowej az. 270°	2.0	2.8	2.8	2.8	3.6	0.13	53°21'54.7" 17°1'17.3"
-	GKP w odległości 527m od anteny sektorowej az. 0°	0.3-2.0	<1.0*	<1.0*	<1.0*	1.3	0.05	53°22'12.0" 17°1'10.6"
-	GKP w odległości 434m od anteny sektorowej az. 105°	0.3-2.0	<1.0*	<1.0*	<1.0*	1.3	0.05	53°21'51.5" 17°1'33.2"
-	GKP w odległości 525m od anteny sektorowej az. 270°	0.3-2.0	<1.0*	<1.0*	<1.0*	1.3	0.05	53°21'55.1" 17°0'41.8"

Pole magnetyczne (wyznaczone na podstawie pomiaru wartości natężenia pola elektrycznego)

Nr pionu	Opis umiejscowienia pionu (punktu pomiarowego)	Wysokość pomiaru [m]	Wartość natężenia pola magnetycznego H [A/m] ¹			Wartość natężenia pola magnetycznego powiększona o niepewność pomiaru ⁴ H [A/m]	Wskaźnikowa wartość poziomu emisji pól elektromagnetycznych WM _H ³	Współrzędne geograficzne pionu (punktu pomiarowego) ²
			Sonda SW-07	Sonda SW-08	SUMA			
1	DPP pomiar na piętrze otwarte okno pok.25, Ośrodka Zabajka 2	2.0	0.005	0.005	0.005	0.006	0.08	53°21'58.3" 17°1'14.2"
2	DPP okno Stajni Ośrodka Zabajka 2	2.0	0.005	0.005	0.005	0.006	0.09	53°21'57.6" 17°1'13.8"
3	GKP w odległości 8m od anteny sektorowej az. 0°	2.0	0.007	0.007	0.007	0.009	0.12	53°21'55.4" 17°1'10.6"
4	GKP w odległości 30m od anteny sektorowej az. 0°	2.0	0.006	0.006	0.006	0.008	0.11	53°21'56.2" 17°1'10.6"
5	GKP w odległości 22m od anteny radioliniowej az. 4°	2.0	0.006	0.006	0.006	0.007	0.1	53°21'55.8" 17°1'10.6"
6	GKP w odległości 6m od anteny radioliniowej az. 55°	2.0	0.006	0.006	0.006	0.008	0.1	53°21'55.1" 17°1'10.9"
7	GKP w odległości 55m od anteny	2.0	0.007	0.007	0.007	0.009	0.12	53°21'56.2" 17°1'13.1"

Sprawozdanie z badań bez pisemnej zgody laboratorium nie może być powielane inaczej niż w całości.
Wynik przedstawione w niniejszym sprawozdaniu odnoszą się wyłącznie do badanego obiektu i do warunków i konfiguracji urządzeń w dniu wykonywania pomiarów.

	radioliniowej az. 55°							
8	GKP w odległości 10m od anteny radioliniowej az. 98°	2.0	0.005	0.005	0.005	0.007	0.09	53°21'55.1" 17°1'11.3"
9	GKP w odległości 107m od anteny sektorowej az. 105°	2.0	0.006	0.006	0.006	0.008	0.1	53°21'54.0" 17°1'16.3"
10	GKP w odległości 95m od anteny radioliniowej az. 102°	2.0	0.005	0.005	0.005	0.006	0.09	53°21'54.4" 17°1'15.6"
11	GKP w odległości 115m od anteny radioliniowej az. 115°	2.0	0.005	0.005	0.005	0.006	0.08	53°21'53.3" 17°1'16.3"
12	GKP w odległości 18m od anteny sektorowej az. 270°	2.0	0.007	0.007	0.007	0.009	0.12	53°21'55.1" 17°1'9.5"
13	GKP w odległości 52m od anteny sektorowej az. 270°	2.0	0.007	0.007	0.007	0.01	0.13	53°21'55.1" 17°1'7.7"
14	GKP w odległości 108m od anteny sektorowej az. 270°	2.0	0.006	0.006	0.006	0.008	0.11	53°21'55.1" 17°1'4.4"
15	GKP w odległości 10m od anteny radioliniowej az. 297°	2.0	0.006	0.006	0.006	0.008	0.11	53°21'55.1" 17°1'9.8"
16	GKP w odległości 51m od anteny radioliniowej az. 297°	2.0	0.007	0.007	0.007	0.009	0.12	53°21'55.8" 17°1'8.0"
17	PKP na az. 277° w odległości 55m od anteny sektorowej az. 270°	2.0	0.006	0.006	0.006	0.008	0.11	53°21'55.1" 17°1'7.3"
18	PKP na az. 290° w odległości 54m od anteny sektorowej az. 270°	2.0	0.007	0.007	0.007	0.009	0.12	53°21'55.8" 17°1'7.7"
19	PKP na az. 305° w odległości 51m od anteny sektorowej az. 270°	2.0	0.007	0.007	0.007	0.01	0.13	53°21'56.2" 17°1'8.0"
20	PKP na az. 325° w odległości 36m od anteny sektorowej az. 0°	2.0	0.006	0.006	0.006	0.008	0.11	53°21'56.2" 17°1'9.1"
21	PKP na az. 340° w odległości 33m od anteny sektorowej az. 0°	2.0	0.007	0.007	0.007	0.009	0.12	53°21'56.2" 17°1'9.8"
22	PKP na az. 353° w odległości 32m od anteny sektorowej az. 0°	2.0	0.007	0.007	0.007	0.009	0.13	53°21'56.2" 17°1'10.2"
23	PKP na az. 7° w odległości 35m od anteny sektorowej az. 0°	2.0	0.007	0.007	0.007	0.009	0.12	53°21'56.2" 17°1'10.6"
24	PKP na az. 20° w odległości 39m od anteny sektorowej az. 0°	2.0	0.007	0.007	0.007	0.009	0.12	53°21'56.2" 17°1'11.3"
25	PKP na az. 35° w odległości 55m od anteny sektorowej az. 0°	2.0	0.006	0.006	0.006	0.008	0.11	53°21'56.5" 17°1'12.0"
26	PKP na az. 70° w odległości 52m od	2.0	0.006	0.006	0.006	0.007	0.1	53°21'55.4" 17°1'13.1"

Sprawozdanie z badań bez pisemnej zgody laboratorium nie może być powielane inaczej niż w całości.
 Wynik przedstawione w niniejszym sprawozdaniu odnoszą się wyłącznie do badanego obiektu i do warunków i konfiguracji urządzeń w dniu wykonywania pomiarów.

	anteny sektorowej az. 105°							
27	PKP na az. 85° w odległości 52m od anteny sektorowej az. 105°	2.0	0.007	0.007	0.007	0.009	0.12	53°21'55.1" 17°1'13.4"
28	PKP na az. 98° w odległości 106m od anteny sektorowej az. 105°	2.0	0.006	0.006	0.006	0.008	0.11	53°21'54.4" 17°1'16.3"
29	PKP na az. 112° w odległości 109m od anteny sektorowej az. 105°	2.0	0.006	0.006	0.006	0.008	0.11	53°21'53.6" 17°1'16.0"
30	PKP na az. 125° w odległości 140m od anteny sektorowej az. 105°	2.0	0.007	0.007	0.007	0.009	0.12	53°21'52.2" 17°1'16.7"
31	PKP na az. 140° w odległości 165m od anteny sektorowej az. 105°	2.0	0.005	0.005	0.005	0.007	0.09	53°21'50.8" 17°1'16.3"
32	PKP na az. 235° w odległości 57m od anteny sektorowej az. 270°	2.0	0.007	0.007	0.007	0.009	0.12	53°21'54.0" 17°1'7.7"
33	PKP na az. 250° w odległości 55m od anteny sektorowej az. 270°	2.0	0.007	0.007	0.007	0.009	0.13	53°21'54.4" 17°1'7.7"
34	PKP na az. 263° w odległości 54m od anteny sektorowej az. 270°	2.0	0.007	0.007	0.007	0.01	0.13	53°21'54.7" 17°1'7.3"
-	GKP w odległości 527m od anteny sektorowej az. 0°	0.3-2.0	<0.003*	<0.003*	<0.003*	0.003	0.05	53°22'12.0" 17°1'10.6"
-	GKP w odległości 434m od anteny sektorowej az. 105°	0.3-2.0	<0.003*	<0.003*	<0.003*	0.003	0.05	53°21'51.5" 17°1'33.2"
-	GKP w odległości 525m od anteny sektorowej az. 270°	0.3-2.0	<0.003*	<0.003*	<0.003*	0.003	0.05	53°21'55.1" 17°0'41.8"

GKP – Główny Kierunek Pomiarowy

DPP – Dodatkowy Pion Pomiarowy

PKP – Pomocniczy Kierunek Pomiarowy

¹ wyniki oznaczone * są wynikami poniżej czułości zestawu pomiarowego i są wynikami spoza zakresu akredytacji. Do obliczenia wyniku skorygowanego przyjęto wartość skorelowaną z rzeczywistym wynikiem pomiaru - dolną granicę akredytowanego zakresu pomiarowego metody

² współrzędne geograficzne pozyskane metodą pomiaru bezpośredniego

³ do wyznaczenia wartości wskaźnikowej W_{ME} i W_{MH} przyjęto na podstawie uzgodnień z klientem oraz rozpoznania źródeł, jako wartości dopuszczalne pola elektrycznego i magnetycznego odpowiednio 28 V/m i 0,073 A/m.

⁴ do wyznaczenia niepewności dla wyników poniżej czułości zestawu pomiarowego, przyjęto niepewność dla minimalnej wartości z zakresu pomiarowego.

⁵ maksymalna wartość chwilowa

Niepewność oszacowano zgodnie z dokumentem P-03 „Procedura nadzoru nad wyposażeniem” w postaci niepewności rozszerzonej wynikającej z niepewności standardowej pomnożonej przez współczynnik rozszerzenia $k=2$.

Całkowita szacowana niepewność rozszerzona składowej E wynosi odpowiednio:

sonda SW-07: 28.8% dla częstotliwości do 4 GHz, sonda SW-08: 33.4% dla częstotliwości do 4 GHz

Umiejscowienie pionów (punktów) pomiarowych przedstawiono w załączniku nr 2 do niniejszego sprawozdania.

Sprawozdanie z badań bez pisemnej zgody laboratorium nie może być powielane inaczej niż w całości.
 Wynik przedstawione w niniejszym sprawozdaniu odnoszą się wyłącznie do badanego obiektu i do warunków i konfiguracji urządzeń w dniu wykonywania pomiarów.

10. Omówienie wyników pomiarów

W związku z tym, że żadna z wartości zmierzonych, udokumentowanych w tabelach w pkt. 9, uzyskanych w skutek zastosowania pomiaru szerokopasmowego, powiększonego o rozszerzoną niepewność pomiaru U dla współczynnika rozszerzenia $k = 2$ nie przekroczyła 70% najniższej dopuszczalnej wartości składowej elektrycznej lub magnetycznej pola dla objętych pomiarami zakresów częstotliwości, nie uwzględnia się poprawek pomiarowych.

W wyniku zastosowania sposobu sprawdzenia dotrzymania dopuszczalnych poziomów pól elektromagnetycznych w środowisku, zgodnie pkt 25 ppkt 1 Rozporządzenia Ministra Klimatu z dnia 17 lutego 2020 r. (Dz. U. 2022, poz. 2630), w związku z tym, że żadna z wartości wskaźnikowych, udokumentowanych w tabelach w pkt. 9 nie przekracza wartości 1, stwierdza się, że w miejscach, w których wykonano pomiary w otoczeniu instalacji radiokomunikacyjnej 44061 (64061N!) PPI_ZLOTOW_ZACHOD, dopuszczalne poziomy pól elektromagnetycznych w środowisku należy uznać za dotrzymane.

Miejsca niedostępne podczas wykonywania pomiarów wskazane zostały w pkt. 9 (Wyniki pomiarów) lub na załączniku przedstawiającym usytuowanie pionów pomiarowych.

11. Podstawa prawna

- 1) Ustawa z dnia 27 kwietnia 2001 r. Prawo ochrony środowiska (Dz.U. 2022 poz. 2556)
- 2) Rozporządzenie Ministra Zdrowia z dnia 17 grudnia 2019 r. w sprawie dopuszczalnych poziomów pól elektromagnetycznych w środowisku (Dz. U. 2019, poz. 2448)
- 3) Rozporządzenie Ministra Klimatu z dnia 17 lutego 2020 r. w sprawie sposobów sprawdzania dotrzymania dopuszczalnych poziomów pól elektromagnetycznych w środowisku (Dz. U. 2022, poz. 2630),
- 4) Akredytacja nr AB 419 wydana przez Polskie Centrum Akredytacji (wydanie 22, z dnia 9 stycznia 2024 r.)

12. Spis załączników

Załącznik 1. Lokalizacja obiektu badań

Załącznik 2. Usytuowanie pionów (punktów) pomiarowych

Załącznik 3. Dokumentacja fotograficzna obiektu badań

13. Data wydania i autoryzowania sprawozdania

Obliczenia i sprawozdanie wykonał :



Signed by /
Podpisano przez:

Date / Data: 2024-
02-07 10:06

Sprawozdanie autoryzował:

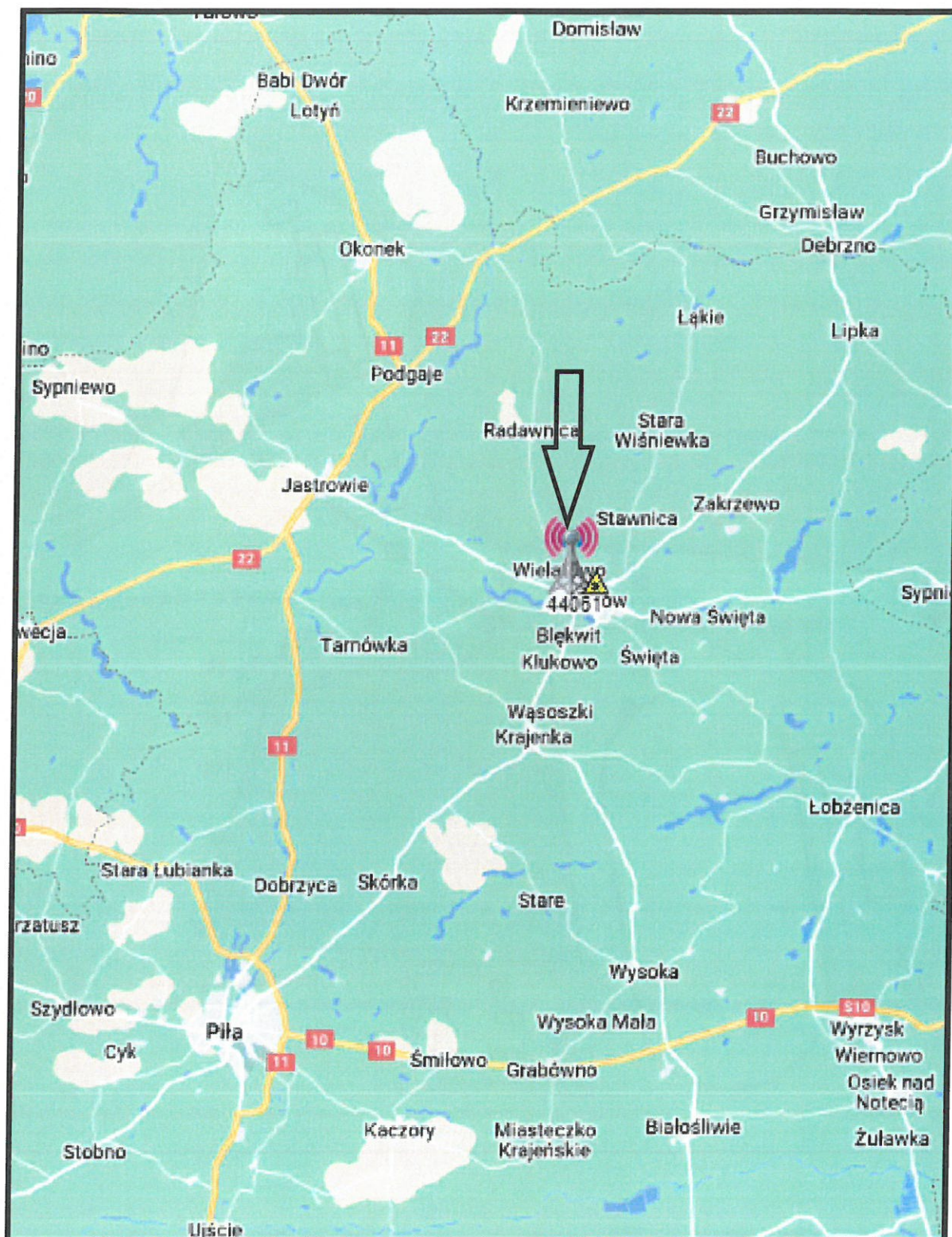


Signed by /
Podpisano przez:

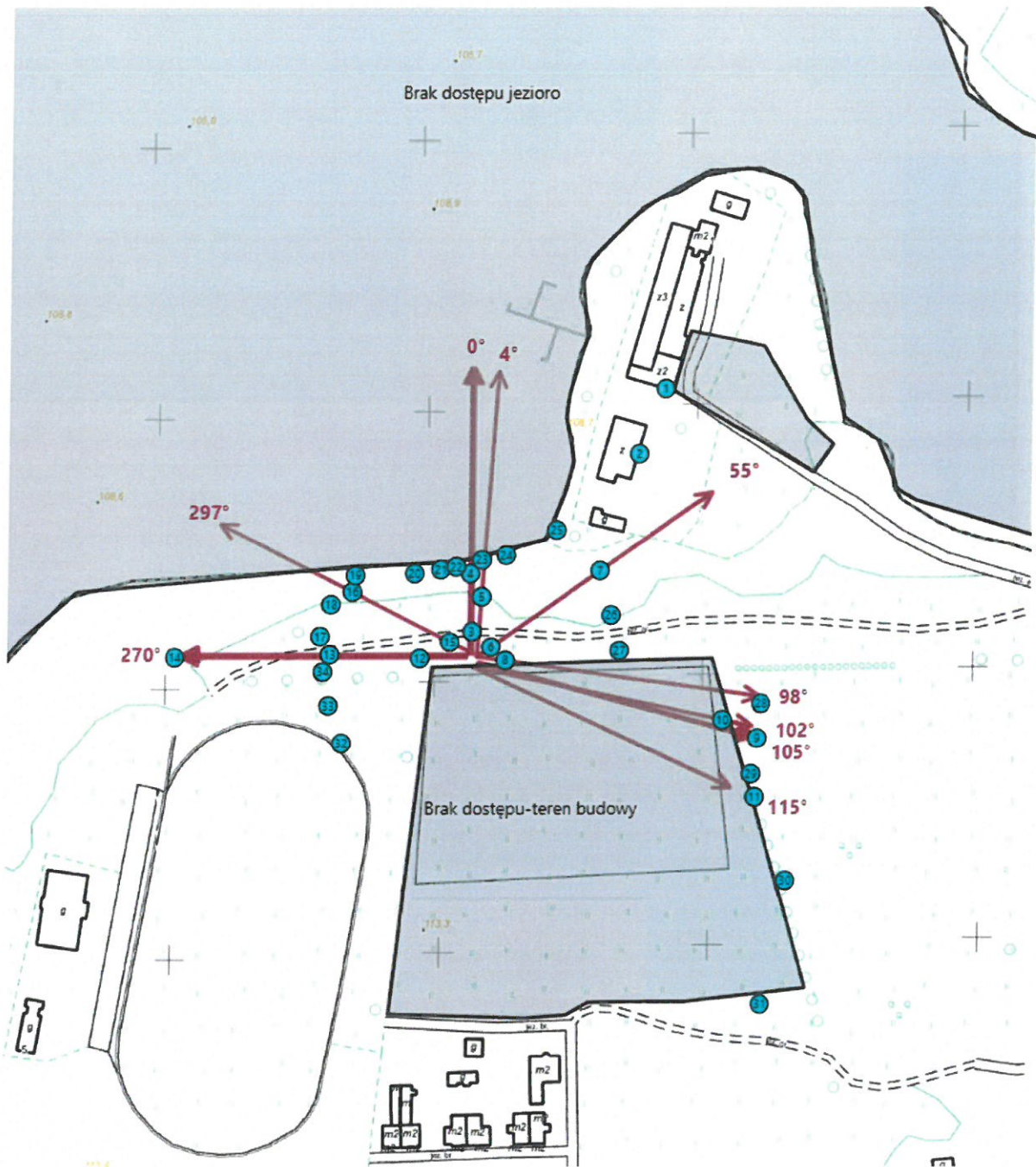
Date / Data:
2024-02-07
14:01





Koniec sprawozdania

Sprawozdanie z badań bez pisemnej zgody laboratorium nie może być powielane inaczej niż w całości.
Wynik przedstawione w niniejszym sprawozdaniu odnoszą się wyłącznie do badanego obiektu i do warunków i konfiguracji urządzeń w dniu wykonywania pomiarów.



Załącznik nr 1	INSTALACJA RADIOKOMUNIKACYJNA T-Mobile Polska S.A. 44061 (64061N!) PPI_ZLOTOW_ZACHOD Lokalizacja instalacji radiokomunikacyjnej
----------------	---



Załącznik nr 2	<p style="text-align: center;">Instalacja radiokomunikacyjna T-Mobile Polska S.A. PPI_ZLOTOW_ZACHOD (64061N!) Usytuowanie pionów pomiarowych w otoczeniu instalacji radiokomunikacyjnej</p>
	<p>Legenda:</p> <div style="display: flex; justify-content: space-around; align-items: flex-end;"> <div style="text-align: center;">  Brak dostępu </div> <div style="text-align: center;">  Pion pomiarowy </div> <div style="text-align: center;">  Kierunek oddziaływania anten sektorowych </div> <div style="text-align: center;">  Kierunek oddziaływania anten radioliniowych </div> </div>



Załącznik nr 3	INSTALACJA RADIOKOMUNIKACYJNA T-Mobile Polska S.A. 44061 (64061N!) PPI_ZLOTOW_ZACHOD Zdjęcia instalacji radiokomunikacyjnej
----------------	---

